

01;05

Анализ влияния свободной поверхности и размера пластической зоны на эффект экранирования упругого поля дисклинации

© Г.Ф. Сарафанов, В.Н. Перевезенцев

Нижегородский филиал Института машиноведения
им. А.А. Благоднарова РАН
E-mail: sarafanov@sinn.ru, pevn@uic.nnov.ru

Поступило в Редакцию 1 марта 2006 г.

Проведено численное исследование самосогласованного распределения избыточной дислокационной плотности в поле дисклинации для конечной области. Произведен расчет функции напряжений Эйри, тензора напряжений и упругой энергии экранированной дисклинации в зависимости от взаимного расположения дисклинации и пластической зоны, размера и геометрии пластической зоны, различных граничных условий. Показано, что упругая энергия системы во всех исследованных случаях существенно уменьшается в том случае, когда дисклинация располагается в пластически деформируемой области кристалла.

PACS: 61.72.Lk, 61.72.Bb

Как показано в работах [1–4], в процессе пластического течения в границах и стыках зерен образуются дефекты ротационного типа — дисклинации, играющие важнейшую роль в дальнейшей эволюции структуры деформируемых поликристаллов. Своими дальнедействующими полями напряжений они возмущают ламинарный поток решеточных дислокаций, вызывая расслоение их однородного распределения и порождая в прилегающих объемах зерен оборванные дислокационные субграницы и более сложные дислокационные образования (мезодефекты ротационного типа) [3].

Важно подчеркнуть, что как зарождение, так и движение оборванных субграниц (частичных дисклинаций) в глубь зерна происходит в результате коллективного движения дислокаций. Поэтому при расчете упругих полей и энергии дисклинационных конфигураций необходимо

учитывать вклад окружающих дислокаций, перераспределение которых в упругом поле дисклинаций способно, как было показано в [5], существенно понизить общую упругую энергию системы. Проведенный в [5] анализ экранировки упругого поля клиновой дисклинации системой дислокаций в случае бесконечно протяженного пластически деформируемого кристалла, показал, что упругая энергия такой системы в области размера R определяется выражением

$$W = \frac{\sqrt{\pi}}{4} D \omega^2 r_d^2 \sqrt{\frac{R}{r_d}}, \quad (1)$$

где r_d — радиус экранирования упругого поля [5,6], $D = G/2\pi(1 - \nu)$, ω — мощность дисклинации, G — модуль сдвига, ν — коэффициент Пуассона.

То обстоятельство, что характерный масштаб r_d спада упругого поля достаточно мал [6], позволил авторам [5] сделать вывод о том, что эффект экранированного упругого поля дисклинации имеет место и в случае конечного кристалла.

Настоящая работа посвящена обоснованию этого вывода применительно к общему случаю, когда как кристалл, так и пластическая область имеют конечные размеры.

Исходную краевую задачу удобно сформулировать для функции напряжений Эйри $\psi(\mathbf{r})$, которая, как показано в [5], будучи определенной во всем пространстве, удовлетворяет бигармоническому уравнению

$$\Delta^2 \psi(\mathbf{r}) = -4r_d^{-2} \frac{\partial^2}{\partial y^2} \psi(\mathbf{r}) + 4\pi D \omega \delta(\mathbf{r}), \quad (2)$$

в котором первое слагаемое в правой части является распределенным в пространстве дислокационным источником упругого поля, самосогласованно связанным с функцией $\psi(\mathbf{r})$, а второе — дисклинационным источником. При этом дислокации, формирующие пластическую зону, характеризуются плотностью $\rho_a(\mathbf{r}, t)$, вектором Бюргерса b_a в направлении скольжения дислокаций $0x(\mathbf{b}_a \parallel \mathbf{e}_x)$ и обладают нулевым суммарным вектором Бюргерса $\sum_a b_a \rho_a = 0$ ($a = \pm$, $b_a = \pm b$).

При нахождении решений данной задачи как краевой задачи теории упругости уравнение (2) целесообразно записать в виде системы

$$\Delta^2 \psi(\mathbf{r}) = -4\pi Db \frac{\partial I(\mathbf{r})}{\partial y} + 4\pi D\omega \delta(\mathbf{r} - \mathbf{r}_0), \quad (3a)$$

$$I(\mathbf{r}) = \begin{cases} -\frac{1}{\pi Db r_d^2} \frac{\partial \psi(\mathbf{r})}{\partial y}, & \mathbf{r} \in \Omega_i \subset \Omega_\psi, \\ 0, & \mathbf{r} \in \Omega_i, \end{cases} \quad (3b)$$

где Ω_ψ — область определения $\psi(\mathbf{r})$, ограниченная некоторой поверхностью S , $\Omega_i \subset \Omega_\psi$ — область задания пластической зоны с распределенным дислокационным зарядом $I(\mathbf{r}) = \rho_+(\mathbf{r}) - \rho_-(\mathbf{r})$, $\mathbf{r}_0 = (x_0, y_0)$ — радиус-вектор, задающий расположение клиновой дисклинации внутри области Ω_ψ . Упругие поля $\sigma_{ij}(\mathbf{r})$ определяются через функцию $\psi(\mathbf{r})$ стандартным образом: $\sigma_{xx} = \psi''_{yy}$, $\sigma_{yy} = \psi''_{xx}$, $\sigma_{xy} = -\psi''_{xy}$ [7].

Систему (3) следует дополнить краевыми условиями на границе области Ω_ψ . Если область Ω_ψ ограничивается свободной поверхностью, то граничные условия имеют вид [8]

$$n_i \sigma_{ik} \big|_S = 0 \quad (4)$$

и означают, что порождаемые дислокациями и дисклинациями внутренние напряжения не могут привести к появлению нескомпенсированных поверхностных сил.

Численное исследование краевой задачи (3) проведем для случая прямоугольной области $\Omega_\psi = \{-L/2 \leq x \leq L/2, -L/2 \leq y \leq L/2\}$ с заданием внутри нее пластической зоны $\Omega_i = \{-L/2 \leq x \leq L/2, -d_y/2 \leq y \leq d_y/2\}$, где $d_y \leq L$. Разбивая область Ω_ψ на прямоугольную сетку, состоящую из $(N+1) \times (N+1)$ узлов, с использованием соответствующей конечно-разностной аппроксимации дифференциальных операторов системы (3) получаем систему линейных уравнений, которую будем решать численно-итерационным методом Гаусса–Зейделя [9].

Рассмотрим некоторые результаты численного исследования исходной задачи в сформулированной постановке.

1. Влияние граничных условий на изменение упругой энергии.

В [5] была получена зависимость (1) упругой энергии от характерного размера некоторой конечной области (радиуса R) бесконечной пластической зоны ($\Omega_i = \Omega_\psi$), включающей особенность упругого поля — дисклинацию. Чтобы получить подобную зависимость численно в по-

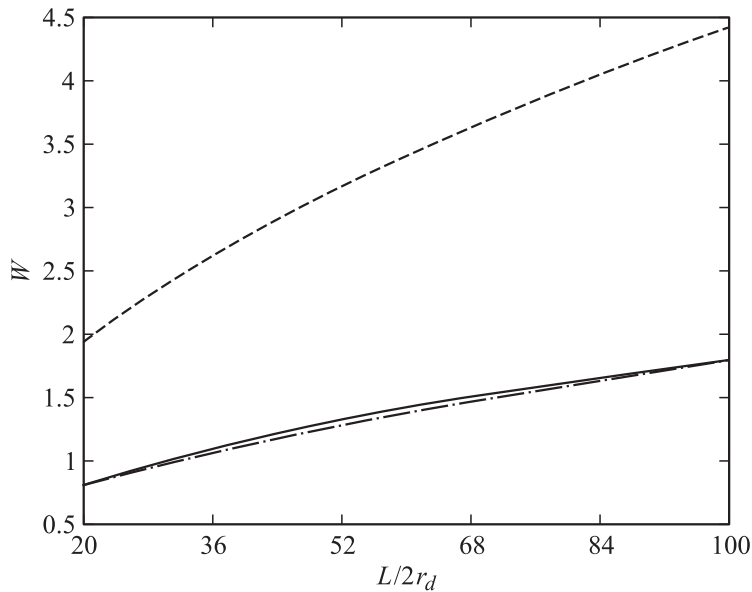


Рис. 1. Зависимость упругой энергии W (в единицах $D\omega^2 r_d^2$) от размера области L пластической зоны при граничных условиях (4) (сплошная линия) и (5) (штриховая линия). Штрихпунктирной линией показана зависимость, рассчитанная согласно выражению (6) для граничных условий (4).

становке краевой задачи [3], необходимо на границе области $\Omega_i = \Omega_\psi$ задать распределение упругих полей

$$\sigma_{ij}(\mathbf{r})|_S = \sigma_{ij}^\Sigma(\mathbf{r}) \quad (5)$$

согласно решениям σ_{ij}^Σ [5]. Для этого случая, когда дисклинация расположена в центре области $\Omega_\psi(\mathbf{r}_0 = 0)$, зависимость изменения упругой энергии W от размера пластической области L , полученная численно как решение краевой задачи (3), показана на рис. 1 (штриховая линия). Эта зависимость практически совпадает с аналитической зависимостью (1) при $R = L/2$.

Рассмотрим теперь решение задачи (3) для случая задания на границе области Ω_ψ граничных условий (4), когда область Ω_ψ ограничена некоторой свободной поверхностью S .

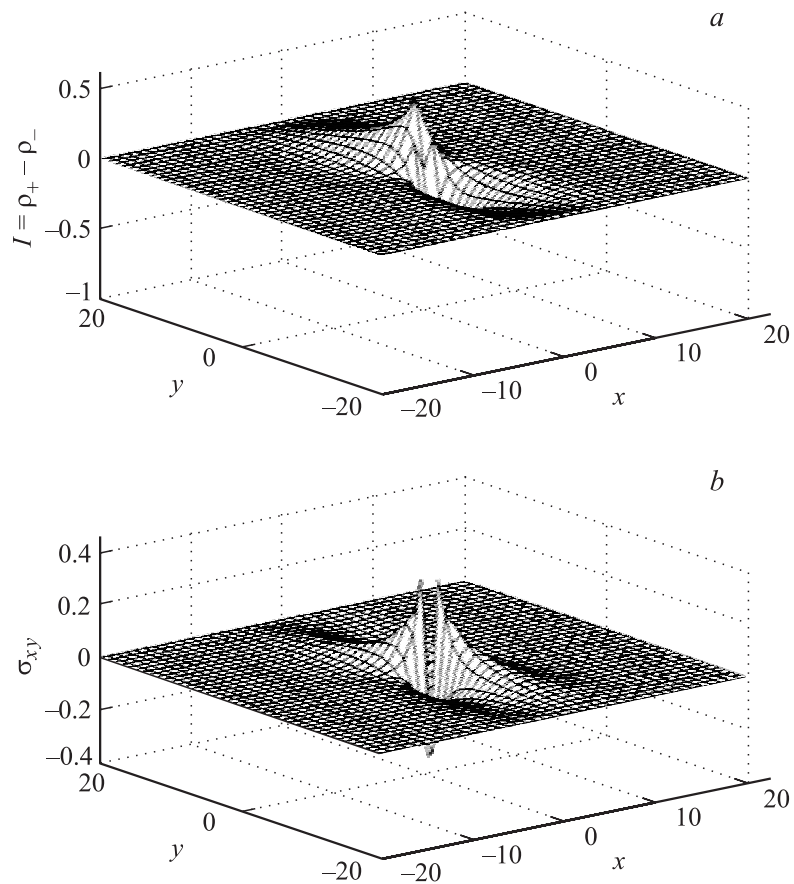


Рис. 2. Результаты численных расчетов в случае краевой задачи (3) с граничными условиями (4) в области $\Omega_\psi = [40r_d \times 40r_d]$: *a* — распределение избыточной плотности дислокаций (в единицах $I_c = \omega/\pi b r_d$); *b* — распределение компоненты поля напряжений σ_{xy} (в единицах $D\omega$). Координаты x, y нормированы на величину r_d . Дисклинация расположена в начале координат.

Результаты численных расчетов распределения избыточной плотности дислокаций и полей напряжений (на примере компоненты σ_{xy}) приведены на рис. 2. Наличие свободной поверхности, ограничивающей

исследуемую область, приводит к снижению упругой энергии системы (рис. 1). Из сравнения двух зависимостей на рис. 1 (сплошная и штрихованная линии) непосредственно видно, что наличие свободной поверхности усиливает эффект упругого поля дисклинации системой дислокаций (примерно в 2.5 раза). Таким образом, обобщенное выражение для упругой энергии системы можно записать в виде

$$W \simeq \alpha_c \frac{\sqrt{\pi}}{4} D\omega^2 r_d^2 \sqrt{\frac{R}{r_d}}, \quad (6)$$

где $R = L/2$, α_c — фактор краевых условий (численный расчет при выполнении граничных условий (4) дает $\alpha_c \simeq 0,4$).

Зависимость (6), учитывающая влияние свободной границы, при $\alpha_c = 0.4$ показана на рис. 1 штрихпунктирной линией.

2. Изменение упругой энергии в зависимости от расположения дисклинации. Рассмотрим ситуацию, когда дисклинация смещается из центра области, включающей пластическую зону ($\Omega_i = \Omega_\psi$), и достигает границы области Ω_ψ . На рис. 3 показана зависимость упругой энергии W системы (при $L = 40r_d$) от смещения x_0 дисклинации из центра области Ω_ψ . Значение упругой энергии имеет максимальную величину в центре области Ω_ψ и уменьшается до нуля по мере приближения к ее границе.

Такое изменение энергии можно объяснить тем, что при выходе дисклинации на свободную поверхность устраняется особенность упругого поля, связанная с этим дефектом. Полученную зависимость можно приближенно описать следующим образом. Для отдельной дисклинации, расположенной в центре цилиндра, ее энергия равна $W_d = D\omega^2 R^2/8$. При смещении дисклинации из центра на расстояние x_0 энергия уменьшается до значения $W_d = D\omega^2 R_{eff}^2/8$, где $R_{eff} = R(1 - x_0^2/R^2)$ — эффективное расстояние до свободной границы [8]. При наличии пластической зоны вместо формулы $W_d = D\omega^2 R^2/8$ для несмещенной дисклинации ($x_0 = 0$) мы получили формулу (6). Логично предположить, что при $x_0 \neq 0$ в этом случае мы должны использовать обобщенную формулу

$$W \simeq \alpha_c \frac{\sqrt{\pi}}{4} D\omega^2 r_d^2 \sqrt{\frac{R_{eff}}{r_d}}, \quad (7)$$

где $R_{eff} = L/2 - 2x_0^2/L$. График зависимости (7) при $\alpha_c = 0.4$ показан на рис. 3 штриховой линией. Наблюдается некоторое отличие от кривой,

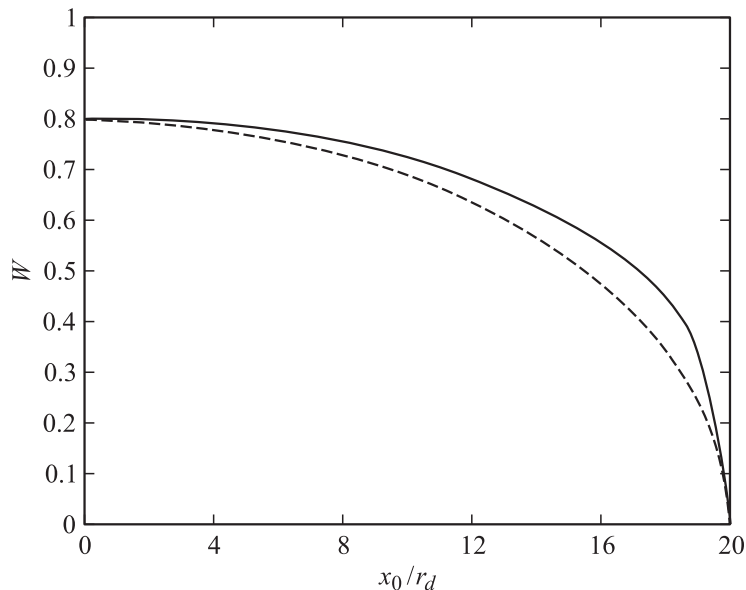


Рис. 3. Зависимость упругой энергии W системы (в единицах $D\omega^2 r_d^2$) от смещения дисклинации на величину x_0 из центра области Ω_ψ , рассчитанная численно (сплошная линия) и построенная (штриховая линия) по приближенной формуле (7).

рассчитанной численно, что может быть связано с влиянием геометрии области Ω_ψ на конечную формулу, при смещении дисклинации из центра.

3. Зависимость упругой энергии от размера и геометрии пластической зоны. Рассмотрим теперь случай, когда варьируется размер пластической зоны ($\Omega_i \leq \Omega_\psi$), а дисклинация расположена в центре области Ω_ψ ($\mathbf{r}_0 = 0$). На рис. 4, *a* показана зависимость упругой энергии W системы, рассчитанная для области Ω_ψ (при $L = 40r_d$), когда протяженность пластической зоны $\Omega_i = \{-L/2 \leq x \leq L/2, \eta \leq y \leq L/2\}$ изменяется от максимального значения $\Omega_i = \Omega_\psi$ ($\eta = -L/2$) до нуля ($\eta = L/2$).

Аналогичная зависимость показана на рис. 4, *b*, где пластическая зона задана в виде полосы $\Omega_i = \{-L/2 \leq x \leq L/2,$

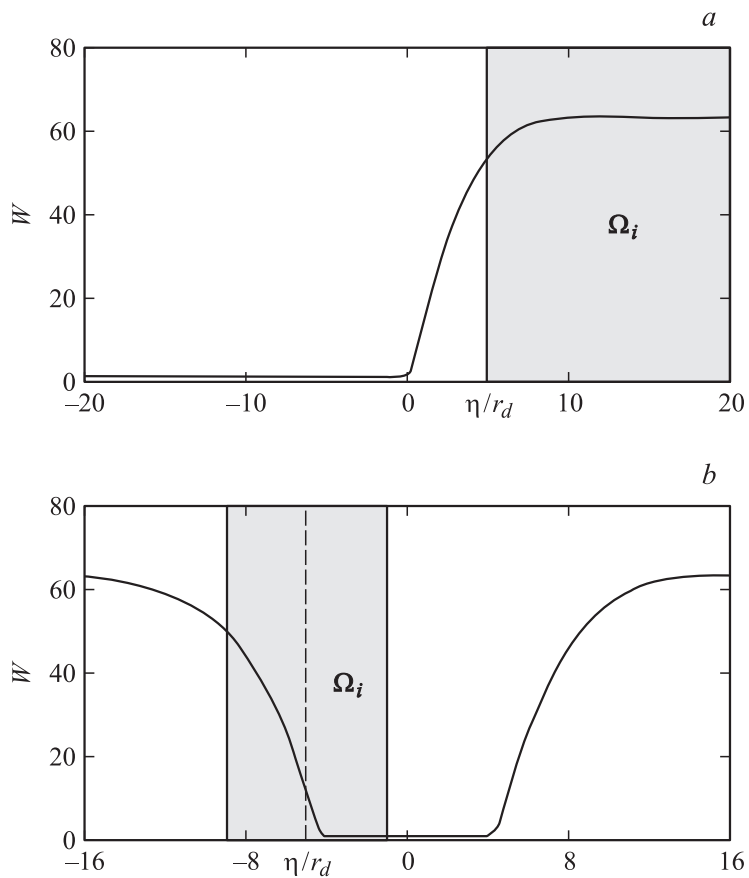


Рис. 4. Зависимость упругой энергии W от размера и геометрии пластической зоны ($d_x = L = 40r_d$): a — при уменьшении протяженности зоны от максимального значения ($d_y = L = 40r_d$) до нуля; b — при перемещении зоны как целого в виде полосы шириной $d_y = 8r_d$ вдоль оси Oy от одного конца области Ω_ψ ($\eta = -16r_d$) до другого ($\eta = 16r_d$).

$\eta - d_y/2 \leq y \leq \eta + d_y/2$ и имеет фиксированные размеры ($d_x = 40r_d$, $d_y = 8r_d$). Величина упругой энергии W исследуется в зависимости от смещения полосы η как целого от одной границы области ($\eta = -L/2 + d_y/2$) до другой ($\eta = L/2 - d_y/2$).

Представленные на рис. 4 зависимости для упругой энергии показывают, что энергия системы W резко уменьшается, если дисклинация попадает внутрь пластически деформируемой области или расположена непосредственно на ее границе ($\mathbf{r}_0 \in \Omega_i$).

Таким образом, исходя из энергетических соображений, можно предположить, что если дисклинация в исходном состоянии расположена на границе или в стыке зерен, а в зерне развивается процесс пластической деформации, то дисклинация энергетически выгодно переместится с границы в объем зерна. Физически это событие означает возникновение субграницы, выходящей с границы и обрывающейся в теле зерна, что может рассматриваться как начало фрагментации материала.

Список литературы

- [1] Рыбин В.В. Большие пластические деформации и разрушение металлов. М.: Металлургия, 1986. 224 с.
- [2] Рыбин В.В., Зисман А.А., Золоторевский Н.Ю. // ФТТ. 1985. Т. 27. С. 181–185.
- [3] Рыбин В.В. // Вопросы материаловедения. 2002. № 4 (32). С. 11–33.
- [4] Перевезенцев В.Н., Рыбин В.В. // Поверхность. Физика, химия, механика. 1982. № 10. С. 134–142.
- [5] Сарафанов Г.Ф., Перевезенцев В.Н. // Письма в ЖТФ. 2005. Т. 31. В. 21. С. 73–78.
- [6] Сарафанов Г.Ф. // ФТТ. 1997. Т. 39. В. 9. С. 1575–1579.
- [7] Хирт Дж., Лоте И. Теория дислокаций. М.: Атомиздат, 1972. 599 с.
- [8] Владимиров В.И., Романов А.Е. Дисклинация в кристаллах. Л.: Наука, 1986. 224 с.
- [9] Калиткин Н.Н. Численные методы. М.: Наука, 1978. 620 с.